

EÖTVÖS LORÁND TUDOMÁNYEGYETEM
TERMÉSZETTUDOMÁNYI KAR

Hosszú Ádám Tamás

**ROSSZUL KONDICIONÁLT
EGYENLETRENDSZEREKRE ALKALMAZOTT
ITERÁCIÓS MÓDSZEREK**

BSc Szakdolgozat

Témavezető:

Dr. Gáspár Csaba

Numerikus Analízis Tanszék



Budapest, 2013

Köszönetnyilvánítás

Ezúton szeretném megköszönni Dr. Gáspár Csabának hogy elvállalta a témavezetői feladatkört, és a konzultációk során iránymutatásával, tanácsaival nagymértékben segítette a dolgozat elkészítését.

Tartalomjegyzék

1. Bevezetés	4
2. Klasszikus iterációs módszerek	6
2.1. Fixpont iteráció	6
2.2. Az egyszerű iteráció	7
2.3. A Jacobi-, és a Gauss-Seidel-iteráció	7
2.4. A konjugált gradiens módszer	8
3. Krylov-altérre épülő módszerek	10
3.1. Az Arnoldi-iteráció	10
3.2. A GMRES-módszer	12
3.3. Az LSQR-módszer	16
3.4. A BiCG-módszer	21
3.5. BiCGStab	26
4. Összehasonlítás	30
4.1. Az alapmegoldások módszere	30
5. Összefoglalás	36
6. A módszerek MATLAB-kódjai	37

1. fejezet

Bevezetés

A gyakorlatban sűrűn merülnek fel $Ax = b$ alakú lineáris egyenletrendszerek, melyeknek a b jobboldala mért adatokat tartalmaz. A mérési eljárás illetve a mérőműszerek hibája miatt a b vektor nem pontos. Ekkor felmerül a kérdés, hogy érdemes-e megkeresni az egyenletrendszer pontos megoldását, mivel a mért adatok pontatlansága következtében a megoldás nem oldja meg a felmerülő gyakorlati feladatot (pontosan). Továbbá gyakran az egyenletrendszer nagy méretű, ekkor a direkt megoldása nagy tárhelyet igényel, mely sokszor nem áll rendelkezésünkre. Ilyen esetekben szoktak iterációs módszereket alkalmazni. A következő fejezetben néhány, széles körben ismert, iterációs módszert említünk meg, melyekről bővebb leírást az [1] könyvben találhatunk.

A probléma nehezebben kezelhető, ha az egyenletrendszer jobb oldalának kis megváltoztatása esetén a megoldás nagy mértékben változik. Az ilyen egyenletrendszereket (és a hozzá tartozó A mátrixot is) rosszul kondicionálnak nevezzük (ennek mérőszáma^[1]: $\text{cond}(A) = \|A\|\|A^{-1}\|$ a mátrix kondíciószáma). Minél nagyobb egy mátrix kondíciószáma, annál nagyobb hibát eredményez a megoldásban a mért adatok hibája. Ilyen probléma sűrűn felmerül a gyakorlatban (például interpolációnál, differenciálegyenletek numerikus megoldásánál).

A 3. fejezetben három Krylov-alterekre épülő iterációs módszert mutatok be (GMRES, LSQR, BiCGStab), melyeket a [2] és [3] könyvek alapján dolgoztam fel. Mind a három módszert elterjedten alkalmazzák. A módszereket a 4. fejezetben alkalmazom, illetve hasonlítom össze egy elliptikus parciális differenciálegyenlet numerikus megoldásán keresztül. Ez a probléma is egy rosszul kondicionált egyenletrendszerre vezet, melynek érdekessége hogy nem szükséges a felmerülő rendszert pontosan megoldani, elég egy megfelelő közelítést megadni a megoldásnak. Ekkor a parciális differenciálegyenlet megoldása

még pontos lesz.

A módszerek összehasonlítására a MATLAB programot használtam, a módszerek MATLAB-beli kódjai a dolgozat végén olvashatóak.

2. fejezet

Klasszikus iterációs módszerek

2.1. Fixpont iteráció

2.1.1. Definíció. Legyen X Banach-tér, $f_n : X \rightarrow X$ függvény. Iterációs sorozatnak nevezünk egy olyan $(x_n) \subset X$ sorozatot, melyet a következő rekurzióval kapunk:

$$x_{n+1} = f_n(x_n)$$

Legyen $A \in \mathbb{R}^{N \times N}$ reguláris, és $b \in \mathbb{R}^N$. Tekintsük az $Ax = b$ lineáris egyenletrendszert, illetve ennek egy átalakítását: $Ax = b$ akkor és csak akkor teljesül, ha $x = Bx + f$, ahol $B \in \mathbb{R}^{N \times N}$, $f \in \mathbb{R}^N$.

2.1.2. Definíció. Jelölje $\rho(B)$ a B mátrix spektrálsugarát, azaz

$$\rho(B) := \max_{i=1..N} |\lambda_i|, \text{ ahol } \lambda_i \text{ a } B \text{ mátrix sajátértéke } (i=1..N)$$

2.1.3. Tétel. Ha $\rho(B) < 1$, akkor tetszőleges $x_0 \in \mathbb{R}^N$ kezdővektor esetén az $x_{n+1} = Bx_n + f$ iterációs sorozat konvergens, és az $x = Bx + f$ egyenlet egyetlen megoldásához tart.

2.2. Az egyszerű iteráció

Legyen $A \in \mathbb{R}^{N \times N}$ reguláris, és $b \in \mathbb{R}^N$. $\forall \omega > 0$ esetén

$$\begin{aligned}Ax &= b \\ \omega Ax &= \omega b \\ x + \omega Ax &= x + \omega b \\ x &= (I - \omega A)x + \omega b\end{aligned}$$

2.2.1. Állítás. *Legyen A szimmetrikus, pozitív definit. Ekkor minden elég kis $\omega > 0$ -ra az $x_{n+1} = (I - \omega A)x_n + \omega b$ tetszőleges $x_0 \in \mathbb{R}^N$ pontból indított iterációs sorozat konvergens, és határértéke az $Ax = b$ lineáris egyenletrendszer egyetlen megoldása.*

2.2.2. Megjegyzés. Elég kis ω alatt azt értjük, hogy $\rho(I - \omega A)$ legyen 1-nél kisebb. Kiszámítható az optimális paraméterérték: $\omega := 2/(\lambda_N + \lambda_1)$, ahol λ_N az A mátrix legnagyobb, λ_1 a legkisebb sajátértéke (ekkor lesz $\|I - \omega A\|$ minimális). (Ekkor a 2.1.3 tétel értelmében a sorozat konvergens).

2.3. A Jacobi-, és a Gauss-Seidel-iteráció

Legyen $A \in \mathbb{R}^{N \times N}$ reguláris, és $b \in \mathbb{R}^N$. Tegyük fel továbbá hogy A diagonálelemei nem zérusok, azaz $a_{ii} \neq 0$, $i = 1 \dots N$. Tekintsük az A mátrix következő felbontását: $A = L + D + U$, ahol L , illetve U az A mátrix szigorúan alsó, illetve felső része, D főátlója megegyezik A főátlójával, minden más eleme 0.

Jacobi-iteráció:

$$\begin{aligned}Ax &= b \\ (U + D + L)x &= b \\ Dx &= -(U + L)x + b \\ x &= -D^{-1}(U + L)x + D^{-1}b\end{aligned}$$

Az iterációs sorozat: $x_{n+1} = -D^{-1}(U + L)x_n + D^{-1}b$

Gauss-Seidel-iteráció:

$$\begin{aligned} Ax &= b \\ (U + D + L)x &= b \\ (L + D)x &= -Ux + b \\ x &= -(L + D)^{-1}Ux + (L + D)^{-1}b \end{aligned}$$

Az iterációs sorozat: $x_{n+1} = -(L + D)^{-1}Ux_n + (L + D)^{-1}b$

2.3.1. Megjegyzés. A feltételünk szerint D és $(L + D)$ invertálhatóak.

2.3.2. Definíció. Egy $A \in \mathbb{R}^{N \times N}$ mátrixot soronként diagonálisan dominánsnak nevezünk, ha minden sorára igaz:

$$|a_{ii}| > \sum_{j \neq i, j=1}^N |a_{ij}|$$

2.3.3. Tétel. Legyen A diagonálisan domináns. Ekkor a Jacobi- és a Gauss-Seidel iterációk konvergensek, határértékük az egyenletrendszer egyetlen megoldása.

2.3.4. Tétel. Legyen A szimmetrikus, pozitív definit mátrix. Ekkor a Gauss-Seidel iteráció konvergens.

2.4. A konjugált gradiens módszer

Legyen $A \in \mathbb{R}^{N \times N}$ szimmetrikus, pozitív definit és $b \in \mathbb{R}^N$.

2.4.1. Állítás. Jelöljük $\langle x, y \rangle_A := \langle Ax, y \rangle$. Az így definiált funkcionál skalárszorzat, ezt az A által generált skalárszorzatnak nevezzük. $\|x\|_A := \sqrt{\langle Ax, x \rangle}$ -et A -normának hívjuk. Amennyiben A szimmetrikus, a most definiált A -norma ekvivalens az eredetivel.

2.4.2. Definíció. $F(x) := \langle Ax, x \rangle - 2 \langle x, b \rangle$. Ennek az F funkcionálnak egyetlen minimumhelye van, ez éppen az $Ax = b$ egyenletrendszer pontos megoldása. F -et energetikai funkcionálnak nevezzük.

Variációs módszereknek nevezzük azon eljárásokat, amelyek F -et minimalizálják. A konjugált gradiens módszer is ebbe a csoportba tartozik.

A módszer alapgondolata hogy az n -edik lépésben minimalizáljuk az F funkcionált a d_n irányban (így kapjuk x_{n+1} -et), majd válasszunk egy új irányt úgy, hogy az új irány A -ortogonális legyen az előzőre (A -skalárszorzatuk 0).

Legyen $x_0 \in \mathbb{R}^N$, tetszőleges közelítés, $r_0 := Ax_0 - b$, $d_0 := -r_0$. Feltehetjük hogy $r_0 \neq 0$, hiszen ekkor már x_0 megoldása az egyenletrendszernek.

$$x_{n+1} := x_n + \lambda_n d_n, \text{ ahol } \lambda_n := -\frac{\langle r_n, d_n \rangle}{\|d_n\|_A} \quad (2.1)$$

$$r_n := Ax_n - b \quad (2.2)$$

$$d_{n+1} := -r_{n+1} + \mu_n d_n, \text{ ahol } \mu_n := \frac{\langle r_{n+1}, d_n \rangle_A}{\|d_n\|_A^2} \quad (2.3)$$

2.4.3. Tétel. *Az iteráció legfeljebb N lépés után véget ér.*

3. fejezet

Krylov-altérre épülő módszerek

Jelölje $\|\cdot\|$ az Euklideszi-normát.

3.1. Az Arnoldi-iteráció

3.1.1. Definíció. *Krylov-altérnek nevezünk egy olyan alteret, amely a következő alakban áll elő:*

$$\kappa_m(A, v) = \text{span}\{v, Av, \dots, A^{m-1}v\}$$

ahol $A \in \mathbb{R}^{N \times N}$, $v \in \mathbb{R}^N$. Amennyiben nincs félreértés ezt κ_m -mel fogjuk jelölni.

A definícióból könnyen látható, hogy $x \in \kappa_m$ akkor és csak akkor ha $x = p(A)v$ alakba írható, ahol p egy legfeljebb $m - 1$ -edfokú polinom. Az Arnoldi-iteráció felépít egy ortonormált bázist κ_m -ben. Erre többféle módszer létezik, az egyik:

3.1.2. Algoritmus. *Arnoldi*

1. Válasszunk egy $v_1 \in \kappa_m$ vektort, amelyre $\|v_1\| = 1$
2. For $j = 1 \dots m$ Do:
3. $v_{j+1} := Av_j$
4. For $i = 1 \dots j$ Do:
5. $h_{i,j} := \langle Av_i, v_j \rangle$
6. $v_{j+1} := v_{j+1} - h_{i,j}v_i$
7. EndDo
8. $h_{j+1,j} := \|v_{j+1}\|$
9. Ha $h_{j+1,j} = 0$ akkor Stop

10. $v_{j+1} := v_{j+1}/h_{j+1,j}$

11. *EndDo*

Az algoritmus minden lépésben kibővíti a bázist egy új vektorral, majd Gram-Schmidt ortogonalizációt használva ortonormalizálja az így kapott vektorrendszert.

3.1.3. Állítás. *Tegyük fel hogy az algoritmus nem állt le az m -edik lépésig. Az 3.1.2 algoritmus által megadott v_1, v_2, \dots, v_m vektorok egy ortonormált bázisát alkotják κ_m -nek.*

Bizonyítás. A konstrukció következtében a v_1, v_2, \dots, v_m vektorok ortonormált rendszert alkotnak. Generálják κ_m -et, ha $v_i = p_{i-1}(A)v_1$ alakba írható, ahol p_{i-1} egy legfeljebb $i - 1$ -edfokú polinom. Ezt teljes indukcióval látjuk be. $i = 1$ -re triviális teljesül, a $p \equiv 1$ polinommal. Tegyük fel hogy minden $k \leq j$ indexre már tudjuk. Tekintsük a v_{j+1} vektort:

$$h_{j+1,j}v_{j+1} = Av_j - \sum_{k=1}^j h_{k,j}v_k = Ap_{j-1}(A)v_1 - \sum_{k=1}^j h_{k,j}p_{k-1}(A)v_1$$

ahol az utolsó egyenlőséget az indukciós feltétel felhasználásával kaptuk. Így $v_{j+1} = p_j(A)v_1$ alakban írtuk fel így az állítást igazoltuk. \square

Jelöljük V_m -mel azt az ortogonális $N \times m$ -es mátrixot, amelynek oszlopai a v_1, v_2, \dots, v_m vektorok, H_m -mel azt az $(m + 1) \times m$ -es mátrixot melynek nem nulla elemei a 3.1.2 algoritmusban definiált $h_{i,j}$ számok. Ekkor H_m felső-Hessenberg mátrix, alakja:

$$H_m = \begin{pmatrix} h_{1,1} & h_{1,2} & h_{1,3} & \cdots & h_{1,m} \\ h_{2,1} & h_{2,2} & h_{2,3} & \cdots & h_{2,m} \\ 0 & h_{3,2} & h_{3,3} & \cdots & h_{3,m} \\ 0 & 0 & h_{4,3} & \cdots & h_{4,m} \\ \vdots & \vdots & \vdots & \ddots & \vdots \\ 0 & 0 & \cdots & 0 & h_{m+1,m} \end{pmatrix}$$

3.1.4. Állítás. *Ekkor fennáll a következő:*

$$AV_m = V_{m+1}H_m$$

Bizonyítás. Tekintsük az AV_m mátrix j . oszlopát:

$$(AV_m)_j = Av_j = \sum_{i=1}^{j+1} h_{i,j}v_i = (V_{m+1}H_m)_j$$

ahol az első egyenlőség egyszerűen leolvasható a 3.1.2 algoritmusból. Ebből következik az állítás. \square

3.2. A GMRES-módszer

A GMRES (Generalized Minimal Residual) módszer az Arnoldi-iterációra épül. Legyen

$$\kappa_m(A, r_0) = \text{span}\{r_0, Ar_0, \dots, A^{m-1}r_0\}$$

ahol $r_0 = Ax_0 - b$, x_0 tetszőleges kezdővektor (általában $x_0 = 0$).

Minden $x \in \kappa_m$ vektor felírható $x = x_0 + V_m y$ alakban, ahol V_m oszlopai az Arnoldi iteráció által megadott ortonormált bázisvektorok (tetszőleges vektor helyett $v_1 := r_0/\|r_0\|$), $y \in \mathbb{R}^m$.

Definiáljuk a következő funkcionált:

$$F(y) = \|b - Ax\| = \|b - A(x_0 + V_m y)\| = \|r_0 - AV_m y\|$$

Felhasználva a 3.1.4 állítást, és hogy V_{m+1} ortogonális mátrix:

$$\|r_0 - AV_m y\| = \|\|r_0\|v_1 - V_{m+1}H_m y\| = \|V_{m+1}(\|r_0\|_2 e_1 - H_m y)\| = \|\|r_0\|_2 e_1 - H_m y\| \quad (3.1)$$

Ahol $e_1 = (1, 0, 0, \dots, 0)^T \in \mathbb{R}^{m+1}$. Az x_m vektort tehát úgy kapjuk meg hogy megkeressük azt az y vektort, amely minimalizálja az $F(y)$ funkcionált, és $x_m := x_0 + V_m y$. Ez a következő algoritmust adja:

3.2.1. Algoritmus. GMRES

1. Válasszunk egy x_0 tetszőleges vektort, és $r_0 := Ax_0 - b$, $v_1 := r_0/\|r_0\|$
2. For $j = 1 \dots m$ Do:
3. $v_{j+1} := Av_j$
4. For $i = 1 \dots j$ Do:
5. $h_{i,j} := \langle Av_i, v_j \rangle$
6. $v_{j+1} := v_{j+1} - h_{i,j}v_i$
7. EndDo
8. $h_{j+1,j} := \|v_{j+1}\|$
9. Ha $h_{j+1,j} = 0$ akkor $m := j$ és lépünk a 12.sorra
10. $v_{j+1} := v_{j+1}/h_{j+1,j}$
11. EndDo
12. Definiáljuk a H_m mátrixot.
13. Számítsuk ki az y vektort, amely minimalizálja az $F(y)$ funkcionált, majd $x_m := x_0 + V_m y$

3.2.2. Állítás. Legyen $m < N$, ekkor az eddigi jelöléseket használva:

1. Az AV_m mátrix rangja megegyezik R_m rangjával, és ha $r_{m,m} = 0$, akkor A szinguláris.
2. Jelölje y_m az $\| \|r_0\|e_1 - H_m y\|$ minimumhelyét. Ekkor: $y_m = R_m^{-1} f_m$.
3. m lépés után:

$$\|b - Ax_m\| = |\beta_{m+1}|$$

Bizonyítás. 1. Felhasználva a 3.1.4 állítást és Q_m ortogonalitását:

$$AV_m = V_{m+1}H_m = V_{m+1}Q_m^T Q_m H_m = V_{m+1}Q_m^T \bar{R}_m$$

Mivel $V_{m+1}Q_m^T$ ortogonális, ezért AV_m rangja megegyezik \bar{R}_m rangjával, amely egyenlő R_m rangjával, hiszen csak egy 0-sorban különböznek. Ha $r_{m,m} = 0$ akkor R_m rangja legfeljebb $m - 1$, így AV_m rangja is legfeljebb $m - 1$. Mivel $\text{rang}(V_m) = m$, ezért A szinguláris.

2. Az eddigi eredményeket, illetve a Pitagorasz-tételt felhasználva kapjuk:

$$\| \|r_0\|e_1 - H_m y\|^2 = \|f_m - R_m y\|^2 + |\beta_{m+1}|^2$$

Mivel R_m teljes rangú, ezért a jobb oldal minimumhelye: $y_m = R_m^{-1} f_m$.

3.

$$\|b - Ax_m\|^2 = \|b - A(x_0 + V_m y_m)\|^2 = \|f_m - R_m y_m\|^2 + |\beta_{m+1}|^2 = |\beta_{m+1}|^2$$

Felhasználva az eddigi eredményeket, illetve hogy $y_m = R_m^{-1} f_m$. \square

3.2.3. Következmény. Ezt az algoritmust használva minden lépésben megkapjuk a hiba normáját, ez egy megfelelő leállási kritériumot szolgáltat.

Az algoritmusból leolvasható, hogy az m -edik lépés előtt a GMRES módszer csak a 9. sorban állhat le, azaz amikor az Arnoldi bázis felépítése során $v_j = 0$ valamely $j < m$ indexre.

3.2.4. Állítás. Legyen A reguláris mátrix. Ekkor a GMRES algoritmus akkor és csak akkor áll le a j . lépésben (azaz $h_{j+1,j} = 0$), ha az x_j közelítő megoldás pontos.

Bizonyítás. Tegyük fel először hogy $h_{j+1,j} = 0$. Mivel A reguláris, ezért $0 \neq r_{jj} = h_{jj}^{(j-1)}$, így

$$s_j = \frac{h_{j+1,j}}{\sqrt{h_{j+1,j}^2 + (h_{jj}^{(j-1)})^2}} = 0.$$

A 3.2.2 állítás első részéből illetve (3.2) egyenletből következik:

$$r_j = \|Ax - b\| = |\beta_{j+1}| = |s_j \gamma_j| = 0,$$

így x_j pontos.

Visszafele hasonlóan, ha x_j pontos, akkor $s_j = 0$, így $h_{j+1,j} = 0$. \square

A H_m mátrix felépítése $\mathcal{O}(m^2)$ lépésben történik, így m növelésével, a lépések száma kvadratikusan nő, továbbá az x_m vektor kiszámításához szükséges a V_m mátrix eltárolása, melynek mérete $N \times m$. Így nagyméretű egyenletrendszerek esetében a módszer memória-igénye nagy. Ennek feloldása hogy az algoritmust néhány lépés után újraindítjuk a kapott, jobb közelítésből.

3.2.5. Algoritmus. Újraindított GMRES

1. $r_0 := Ax_0 - b$, $v_1 := r_0 / \|r_0\|$
2. Készítsük el a Arnoldi bázist és a H_m mátrixot.
3. Számítsuk ki az y vektort, amely minimalizálja $F(y)$ -t, majd $x_m := x_0 + V_m y$
4. Ha x_m megfelelő közelítése a pontos megoldásnak megállunk,
ha nem, $x_0 := x_m$, és ugorjunk az 1. sorra

3.2.6. Megjegyzés. Egy ismert nehézség az újraindított GMRES módszerrel, hogy ha az A mátrix nem pozitív definit, akkor stagnálhat (azaz a hiba normája nem csökken).

3.3. Az LSQR-módszer

Legyen $A \in \mathbb{R}^{N \times M}$, $b \in \mathbb{R}^N$, tekintsük az $Ax = b$ egyenletrendszert. Mivel az A mátrix nem négyzetes, így az egyenletrendszernek ritkán van pontos megoldása. Minimalizálhatjuk azonban $\|Ax - b\|$ -t, ezt nevezik a legkisebb négyzetek feladatának. Tekintsük a következő bidiagonalizációs módszert:

3.3.1. Algoritmus. Bidiagonalizálás

1. Legyen $\beta_1 u_1 = b$ és $\alpha_1 v_1 = A^T u_1$
2. For $i=1, 2, \dots$ Do
3. $\beta_{i+1} u_{i+1} = Av_i - \alpha_i u_i$
4. Ha $u_{i+1} = 0$ akkor Stop
4. $\alpha_{i+1} v_{i+1} = A^T u_{i+1} - \beta_{i+1} v_i$
5. Ha $v_{i+1} = 0$ akkor Stop
5. EndDo

Ahol $i = 1, 2, \dots$ -re az $\beta_i, \alpha_i \geq 0$ számokat úgy választjuk hogy $\|u_i\| = \|v_i\| = 1$ legyen (illetve ha $u_i = 0$, akkor $\beta_i := 0$, hasonlóan ha $v_i = 0$, akkor $\alpha_i := 0$). Jelölje $U_k \in \mathbb{R}^{N \times k}$ mátrixot, melynek oszlopai az u_i , $i = 1, \dots, k$ vektorok. Hasonlóan jelölje $V_k \in \mathbb{R}^{M \times k}$ azt a mátrixot, melynek oszlopai a v_i vektorok.

3.3.2. Állítás. U_k és V_k ortogonális mátrixok.

Bizonyítás. Azt kell tehát belátni hogy $\langle u_i, u_j \rangle = \langle v_i, v_j \rangle = 0$ minden $i < j$ párra, illetve $\|u_i\| = \|v_i\| = 1$ minden $i = 1, 2, \dots$ -re. $\|u_i\| = \|v_i\| = 1$ triviálisan következik α_i, β_i választásából. Az ortogonalitást teljes indukcióval látjuk be. Először tekintsük:

$$\begin{aligned} \langle u_1, u_2 \rangle &= \left\langle u_1, \frac{Av_1 - \alpha_1 u_1}{\|Av_1 - \alpha_1 u_1\|} \right\rangle = \frac{1}{\|Av_1 - \alpha_1 u_1\|} (\langle u_1, Av_1 \rangle - \alpha_1 \|u_1\|^2) = \\ &= \frac{1}{\|Av_1 - \alpha_1 u_1\|} (\langle A^T u_1, v_1 \rangle - \alpha_1) = \frac{1}{\|Av_1 - \alpha_1 u_1\|} (\langle \alpha_1 v_1, v_1 \rangle - \alpha_1) = \\ &= \frac{1}{\|Av_1 - \alpha_1 u_1\|} (\alpha_1 - \alpha_1) = 0 \end{aligned}$$

$$\begin{aligned}
\langle v_1, v_2 \rangle &= \langle v_1, \frac{A^T u_2 - \beta_2 v_1}{\|A^T u_2 - \beta_2 v_1\|} \rangle = \frac{1}{\|A^T u_2 - \beta_2 v_1\|} (\langle v_1, A^T u_2 \rangle - \beta_2 \|v_1\|^2) = \\
&= \frac{1}{\|A^T u_2 - \beta_2 v_1\|} (\langle Av_1, u_2 \rangle - \beta_2) = \\
&= \frac{1}{\|A^T u_2 - \beta_2 v_1\|} (\langle \beta_2 u_2 + \alpha_1 u_1, u_2 \rangle - \beta_2) = \\
&= \frac{1}{\|A^T u_2 - \beta_2 v_1\|} (\beta_2 \|u_2\|^2 + \alpha_1 \langle u_1, u_2 \rangle - \beta_2) = 0
\end{aligned}$$

Most tegyük fel hogy minden $i, j \leq k$, $i < j$ indexpárra teljesül $\langle u_i, u_j \rangle = \langle v_i, v_j \rangle = 0$, valamely $k > 2$ természetes számra. Ekkor

$$\langle u_i, u_{k+1} \rangle = \langle u_i, \frac{Av_k - \alpha_k u_k}{\|Av_k - \alpha_k u_k\|} \rangle = \frac{\langle A^T u_i, v_k \rangle - \alpha_k \langle u_i, u_k \rangle}{\|Av_k - \alpha_k u_k\|}$$

Ha $i = 1$, akkor $A^T u_1 = \alpha_1 v_1$, így

$$\langle A^T u_1, v_k \rangle - \alpha_k \langle u_1, u_k \rangle = \alpha_1 \langle v_1, v_k \rangle - \alpha_k \langle u_1, u_k \rangle = 0$$

az indukciós feltevés miatt, így $\langle u_1, u_{k+1} \rangle = 0$.

Ha $i \neq 1$:

$$\langle u_i, u_{k+1} \rangle = \frac{\langle A^T u_i, v_k \rangle - \alpha_k \langle u_i, u_k \rangle}{\|Av_k - \alpha_k u_k\|} = \frac{\langle \alpha_i v_i + \beta_i v_{i-1}, v_k \rangle - \alpha_k \langle u_i, u_k \rangle}{\|Av_k - \alpha_k u_k\|}$$

Ha $i \neq k$, akkor az indukciós feltevés miatt $\langle v_i, v_k \rangle = \langle v_{i-1}, v_k \rangle = \langle u_i, u_k \rangle = 0$, így $\langle u_i, u_{k+1} \rangle = 0$. Ha $i = k$:

$$\langle u_k, u_{k+1} \rangle = \frac{\langle \alpha_k v_k + \beta_k v_{k-1}, v_k \rangle - \alpha_k \langle u_k, u_k \rangle}{\|Av_k - \alpha_k u_k\|} = \frac{\alpha_k \|v_k\|^2 - \alpha_k \|u_k\|^2}{\|Av_k - \alpha_k u_k\|} = 0$$

Hasonlóan:

$$\begin{aligned}
\langle v_i, v_{k+1} \rangle &= \langle v_i, \frac{A^T u_{k+1} - \beta_{k+1} v_k}{\|A^T u_{k+1} - \beta_{k+1} v_k\|} \rangle = \frac{\langle Av_i, u_{k+1} \rangle - \beta_{k+1} \langle v_i, v_k \rangle}{\|A^T u_{k+1} - \beta_{k+1} v_k\|} = \\
&= \frac{\langle \beta_{i+1} u_{i+1} + \alpha_i u_i, u_{k+1} \rangle - \beta_{k+1} \langle v_i, v_k \rangle}{\|A^T u_{k+1} - \beta_{k+1} v_k\|}
\end{aligned}$$

Mivel már tudjuk hogy $\langle u_i, u_{k+1} \rangle = 0$ minden $i \leq k$, így ha $i < k$, akkor $\langle u_{i+1}, u_{k+1} \rangle = \langle u_i, u_{k+1} \rangle = \langle v_i, v_k \rangle = 0$, így $\langle v_i, v_{k+1} \rangle = 0$.

Ha $i = k$:

$$\langle v_k, v_{k+1} \rangle = \frac{\langle \beta_{k+1} u_{k+1} + \alpha_k u_k, u_{k+1} \rangle - \beta_{k+1} \langle v_k, v_k \rangle}{\|A^T u_{k+1} - \beta_{k+1} v_k\|} = \frac{\beta_{k+1} - \beta_{k+1}}{\|A^T u_{k+1} - \beta_{k+1} v_k\|} = 0$$

Így U_k, V_k ortogonális mátrixok. \square

3.3.3. Állítás. A v_1, v_2, \dots, v_k vektorok egy ortonormált bázisát alkotják $\kappa_k(A^T A, b)$ -nek.

Bizonyítás. Már láttuk hogy a v_1, v_2, \dots, v_k vektorok ortonormált rendszert alkotnak, így csak annyit kell belátni hogy mindegyik vektor előáll $v_i = p_{i-1}(A^T A)v_1$ alakban, ahol p_{i-1} egy legfeljebb $i - 1$ -edfokú polinom. Teljes indukcióval látjuk be, v_1 -re triviálisan teljesül az állítás a $p \equiv 1$ polinommal. Tegyük fel hogy valamely j indexig már tudjuk. Ekkor

$$\begin{aligned} \alpha_{j+1}v_{j+1} &= A^T u_{j+1} - \beta_{j+1}v_j = \frac{A^T A v_j}{\beta_{j+1}} - \frac{\alpha_j}{\beta_{j+1}} A^T u_j - \beta_{j+1}v_j = \\ &= \frac{A^T A v_j}{\beta_{j+1}} - \frac{\alpha_j^2}{\beta_{j+1}} v_j - \frac{\alpha_j \beta_j}{\beta_{j+1}} v_{j-1} - \beta_{j+1}v_j = \\ &= A^T A p_{j-1}(A^T A)v_1 - p'_{j-1}(A^T A)v_1 - p_{j-2}(A^T A)v_1 \end{aligned}$$

amely egy kívánt felírása a vektornak. \square

A 3.3.1 algoritmus összefüggései felírhatók mátrixos alakban is:

$$U_{k+1}(\beta_1 e_1) = b \quad (3.3)$$

$$A V_k = U_{k+1} B_k \quad (3.4)$$

$$A^T U_{k+1} = V_k B_k^T + \alpha_{k+1} v_{k+1} e_{k+1}^T \quad (3.5)$$

ahol $e_i \in \mathbb{R}^{k+1}$, $B_k \in \mathbb{R}^{(k+1) \times k}$ és

$$e_i = \begin{pmatrix} 0 \\ \vdots \\ 0 \\ 1 \\ 0 \\ \vdots \\ 0 \end{pmatrix} \leftarrow i.\text{sor} \quad B_k = \begin{pmatrix} \alpha_1 & 0 & 0 & \cdots & 0 \\ \beta_2 & \alpha_2 & 0 & \cdots & 0 \\ 0 & \beta_3 & \alpha_3 & \ddots & \vdots \\ \vdots & \ddots & \ddots & \ddots & 0 \\ 0 & \cdots & 0 & \beta_k & \alpha_k \\ 0 & \cdots & 0 & 0 & \beta_{k+1} \end{pmatrix}$$

Minimalizáljuk $\|b - Ax\|$ -t az $x \in \kappa_m$ vektorok körében. Ekkor $x = V_m y_m$ alakba írható. Így

$$\|b - Ax\| = \|A V_m y_m - b\| = \|U_{m+1} B_m y_m - U_{m+1} \beta_1 e_1\| = \|B_m y_m - \beta_1 e_1\|$$

A GMRES módszernél látottakhoz hasonlóan forgatásokkal elimináljuk a főátló alatti elemeket (β_i). Példaként bemutatjuk az i . forgatást. Az $(i - 1)$. forgatás után kapott

mátrix:

$$Q_{i-1}B'_{i-1} = \begin{pmatrix} \theta_1 & \phi_2 & & & \\ & \theta_2 & \phi_3 & & \\ & & \ddots & \ddots & \\ & & & \theta_{i-1} & \phi_i \\ & & & & \bar{\theta}_i \end{pmatrix}$$

ahol $Q_{i-1} = P_{i-1} \begin{pmatrix} Q_{i-2} & 0 \\ 0 & 1 \end{pmatrix}$, és P_{i-1} forgatási mátrix, $Q_1 = P_1$ (így Q_{i-1} forgatások kompozíciója), és B'_{i-1} -t úgy kapjuk meg B_{i-1} -ből hogy hozzávesszük utolsó oszlopnak $(0, \dots, 0, \alpha_i)^T$ -t. Így az i . forgatás:

$$\begin{pmatrix} 1 & & & & & & & & & & \\ & \ddots & & & & & & & & & \\ & & 1 & & & & & & & & \\ & & & c_i & s_i & & & & & & \\ & & & -s_i & c_i & & & & & & \end{pmatrix} \begin{pmatrix} \theta_1 & \phi_2 & & & & & & & & & \\ & \ddots & \ddots & & & & & & & & \\ & & & \theta_{i-1} & \phi_i & & & & & & \\ & & & & \bar{\theta}_i & & & & & & \\ & & & & & \beta_{i+1} & \alpha_{i+1} & & & & \end{pmatrix} = \begin{pmatrix} \theta_1 & \phi_2 & & & & & & & & & \\ & \ddots & \ddots & & & & & & & & \\ & & & \theta_{i-1} & \phi_i & & & & & & \\ & & & & & \theta_i & \phi_{i+1} & & & & \\ & & & & & & & \bar{\theta}_{i+1} & & & \end{pmatrix}$$

Itt a felülvonással jelölt értékek a következő iterációban még megváltozhatnak, a felülvonás nélküliek már nem. Ebből könnyen látható hogy R_{k-1} és R_k csak egy új sorban és oszlopban különböznek (R_k bal felső $(k-1) \times (k-1)$ -es blokkja R_{k-1}). Ekkor

$$\|\beta_1 e_1 - B_m y_m\| = \|Q_m \beta_1 e_1 - \bar{R}_m y_m\| = \|\bar{g}_m - \bar{R}_m y_m\|$$

ahol $Q_m B_m = \bar{R}_m = \begin{pmatrix} R_m \\ 0 \end{pmatrix}$ és $Q_m \beta_1 e_1 = \bar{g}_m$, és g_m -et úgy kapjuk hogy elhagyjuk \bar{g}_m utolsó elemét. Az előbbihez hasonlóan adódik hogy g_m első k eleme megegyezik g_{m-1} -el. Amennyiben R_m rangja teljes: $y_m = R_m^{-1} g_m$ és $r_k = \|b - Ax\| = \|\bar{g}_m - \bar{R}_m y_m\| = |\gamma_{m+1}|$. Azonban y_{m-1} és y_m elemei általában különböznek, így minden lépésben újra kéne számolni a vektort. Egy egyszerű lépéssel azonban megkerülhető y_m kiszámítása. Tekintsük tehát: $x_m = V_m y_m = V_m R_m^{-1} g_m = D_m g_m$, ahol D_m oszlopait az $R_m^T D_m^T = V_m^T$ rendszerből kaphatjuk meg. Mivel $d_0 = x_0 = 0$, így

$$d_k = \frac{1}{\theta_k} (v_k - \phi_k d_{k-1})$$

$$x_k = x_{k-1} + \gamma_k d_k$$

Mivel a k . lépés után θ_k , ϕ_k és γ_k sem változik így, nem kell megjegyeznünk csak az utolsó iterációban kapott értékeket.

Ismeretes hogy ha egy x vektor minimalizálja az $\|Ax - b\|$ -t, akkor megoldása a Gauss-féle normálegyenletnek, azaz $A^T Ax = A^T b$, így $\|A^T(Ax - b)\| = \|A^T r\| = 0$, ahol $r = Ax - b$. Így a legkisebb négyzetek feladatánál $\|A^T r_m\|$ megfelelő megállási kritériumot szolgáltatathat. Az LSQR-módszernél ez szinte ingyen adódik:

$$\begin{aligned} A^T r_m &= A^T(Ax_m - b) = A^T(AV_m y_m - b) = A^T U_{m+1}(B_m y_m - \beta_1 e_1) = \\ &= \gamma_{m+1} A^T U_{m+1} Q_m^T e_{m+1} = \gamma_{m+1} (V_m B_m^T + \alpha_{m+1} v_{m+1} e_{m+1}^T) Q_m^T e_{m+1} = \\ &= \gamma_{m+1} V_m \bar{R}_m^T e_{m+1} + \gamma_{m+1} \alpha_{m+1} v_{m+1} e_{m+1}^T Q_m^T e_{m+1} = \gamma_{m+1} \alpha_{m+1} c_m v_{m+1} \end{aligned}$$

hiszen, $\bar{R}_m^T e_{m+1} = (0, \dots, 0)^T$ és $e_{m+1}^T Q_m^T e_{m+1} = c_m$.

Ezek alapján:

$$\|A^T r_m\| = \alpha_{m+1} |\gamma_{m+1}| |c_m| \quad (3.6)$$

3.3.4. Algoritmus. LSQR

1. Legyen $\beta_1 u_1 = b$, $\alpha_1 v_1 = A^T u_1$, $w_1 = v_1$, $x_0 = 0$, $\bar{\gamma}_1 = \beta_1$, $\bar{\theta}_1 = \alpha_1$
2. For $i=1, 2, \dots$ Do
3. $\beta_{i+1} u_{i+1} = Av_i - \alpha_i u_i$
4. $\alpha_{i+1} v_{i+1} = A^T u_{i+1} - \beta_{i+1} v_i$
5. $\theta_i = \sqrt{\bar{\theta}_i^2 + \beta_{i+1}^2}$
6. $c_i = \bar{\theta}_i / \theta_i$
7. $s_i = \beta_{i+1} / \theta_i$
8. $\gamma_i = c_i \bar{\gamma}_i$
9. $\bar{\gamma}_{i+1} = -s_i \bar{\gamma}_i$
10. $\bar{\theta}_{i+1} = c_i \alpha_{i+1}$
11. $\phi_{i+1} = s_i \alpha_{i+1}$
12. $x_i = x_{i-1} + (\gamma_i / \theta_i) w_i$
13. $w_{i+1} = v_{i+1} - (\phi_{i+1} / \theta_i) w_i$
14. Ha $\|A^T r_i\|$ elég kicsi akkor Stop
15. EndDo

M lépés után az algoritmus biztosan véget ér, hiszen $\kappa_M(A^T A, b) = R^M$, így ebben a vektortérben minimalizáljuk $\|r_M\|$ -t, így x_M biztosan megoldása a Gauss-féle normálegyenletnek, ebből következően $\|A^T(Ax_M - b)\| = 0$, így az algoritmus leáll, x_M a keresett megoldás.

3.3.5. Megjegyzés. A számítógép számábrázolási hibájának következtében, a gyakorlatban az algoritmus nem biztos hogy leáll M lépés után.

3.3.6. Állítás. Legyen $k < M$ a legkisebb olyan index, amire $\alpha_{k+1} = 0$. Ekkor x_k megoldása a Gauss-féle normálegyenletnek, így x_k minimalizálja $\|r\|$ -t.

Bizonyítás. A 3.6 egyenletet felhasználva:

$$\|A^T r_k\| = \alpha_{k+1} |\gamma_{k+1}| |c_k|$$

Itt $\gamma_{k+1} = -s_i \gamma_k = -(\beta_{k+1}/\theta_k) \gamma_k$, amely értelmes, hiszen

$$\theta_k = \sqrt{\bar{\theta}_k^2 + \beta_{k+1}^2} = \sqrt{(c_{k-1} \alpha_k)^2 + \beta_{k+1}^2}$$

ahol $\alpha_k \neq 0$, a feltétel miatt, $c_{k-1} = \bar{\theta}_{k-1}/\theta_{k-1}$, és $\theta_{k-1} = 0$ csak akkor ha $\beta_k = 0$, csak akkor ha $\alpha_k = 0$, ami ellentmond a feltételnek, így $\theta_k \neq 0$.

$c_k = \bar{\theta}_k/\theta_k$, ahol $\theta_k \neq 0$ az előbbiek szerint.

Így $\|A^T r_k\| = \alpha_{k+1} |\gamma_{k+1}| |c_k|$ értelmes és $\|A^T r_k\| = 0$, hiszen $\alpha_{k+1} = 0$. \square

3.4. A BiCG-módszer

Legyen most $A \in \mathbb{R}^{N \times N}$, $b \in \mathbb{R}^N$. A BiCG (bikonjugált gradiens) módszer nem követeli meg az A mátrix szimmetrikusságát, mint a konjugált gradiens módszer. Tekintsük a következő biortogonalizációs eljárást:

3.4.1. Algoritmus. Lanczos-biortogonalizáció

1. Válasszunk $v_1, w_1 \in \mathbb{R}^N$ vektorokat, úgy hogy $\langle v_1, w_1 \rangle := 1$
2. Legyen $\beta_1 = \delta_1 = 0$, $w_0 = v_0 = 0$.
3. For $j=1, 2, \dots, m$ Do:
 4. $\alpha_j = \langle Av_j, w_j \rangle$
 5. $\bar{v}_{j+1} = Av_j - \alpha_j v_j - \beta_j v_{j-1}$
 6. $\bar{w}_{j+1} = A^T w_j - \alpha_j w_j - \delta_j w_{j-1}$
 7. $\delta_{j+1} = \sqrt{\langle \bar{v}_{j+1}, \bar{w}_{j+1} \rangle}$ Ha $\delta_{j+1} = 0$ akkor Stop
 8. $\beta_{j+1} = \langle \bar{v}_{j+1}, \bar{w}_{j+1} \rangle / \delta_{j+1}$
 9. $w_{j+1} = \bar{w}_{j+1} / \beta_{j+1}$
 10. $v_{j+1} = \bar{v}_{j+1} / \delta_{j+1}$
11. EndDo

3.4.2. Megjegyzés. A β_i, δ_i skalárok választása több módon is történhet, annak kell teljesülnie, hogy $\delta_i \beta_i = \langle \bar{v}_i, \bar{w}_i \rangle$, ez biztosítja hogy $\langle v_i, w_i \rangle = 1$ legyen. Az algoritmusban azért így választottuk, mert így $\delta_i = |\beta_i|$.

Az algoritmusból leolvasható, hogy $v_i \in \kappa_m(A, v_1)$, illetve $w_i \in \kappa_m(A^T, w_1)$. Továbbá a v_1, v_2, \dots, v_m vektorok egy bázisát alkotják $\kappa_m(A, v_1)$ -nek, a w_1, w_2, \dots, w_m vektorok $\kappa_m(A^T, w_1)$ -nek.

3.4.3. Állítás. *Ha az algoritmus nem áll le az m -edik lépés előtt, akkor a v_1, v_2, \dots, v_m és a w_1, w_2, \dots, w_m vektorok egy biortogonális rendszert alkotnak, azaz*

$$\langle v_i, w_j \rangle = \delta_{ij} \quad i, j \leq m$$

ahol δ_{ij} a Kronecker-delta függvényt jelöli, azaz

$$\delta_{ij} = \begin{cases} 0 & \text{ha } i \neq j \\ 1 & \text{ha } i = j \end{cases}$$

Bizonyítás. Az állítást teljes indukcióval fogjuk bizonyítani. A β_j, δ_j skalárok megválasztásából következik hogy $\langle v_j, w_j \rangle = 1$. Egyszerűen kapjuk:

$$\langle v_2, w_1 \rangle = \langle Av_1 - \alpha_1 v_1, w_1 \rangle = \langle Av_1, w_1 \rangle - \alpha_1 \langle v_1, w_1 \rangle = 0$$

α_1 definíciója következtében. Hasonlóan $\langle w_2, v_1 \rangle = 0$. Tegyük most fel hogy a v_1, v_2, \dots, v_j és a w_1, w_2, \dots, w_j biortogonális rendszert alkotnak, belátjuk először hogy $\langle v_{j+1}, w_i \rangle = 0$ minden $i \leq j$ indexre. Ha $i = j$:

$$\begin{aligned} \langle v_{j+1}, w_j \rangle &= \frac{1}{\delta_{j+1}} \langle Av_j - \alpha_j v_j - \beta_j v_{j-1}, w_j \rangle = \\ &= \frac{1}{\delta_{j+1}} (\langle Av_j, w_j \rangle - \alpha_j \langle v_j, w_j \rangle - \beta_j \langle v_{j-1}, w_j \rangle) = 0 \end{aligned}$$

α_j definíciója, $\langle v_j, w_j \rangle = 1$ miatt az első két skalárszorzat különbsége 0, az indukciós feltevést felhasználva a harmadik tag 0.

$$\begin{aligned} \langle v_{j+1}, w_i \rangle &= \frac{1}{\delta_{j+1}} (\langle Av_j, w_i \rangle - \alpha_j \langle v_j, w_i \rangle - \beta_j \langle v_{j-1}, w_i \rangle) = \\ &= \frac{1}{\delta_{j+1}} (\langle v_j, A^T w_i \rangle - \beta_j \langle v_{j-1}, w_i \rangle) = \\ &= \frac{1}{\delta_{j+1}} (\langle v_j, \beta_{i+1} w_{i+1} + \alpha_i w_i - \delta_i w_{i-1} \rangle - \beta_j \langle v_{j-1}, w_i \rangle) \end{aligned}$$

$i < j - 1$ -re a fenti skalárszorzatok eltűnnek, ha $i = j - 1$:

$$\begin{aligned} \langle v_{j+1}, w_{j-1} \rangle &= \frac{1}{\delta_{j+1}} (\langle v_j, \beta_j w_j + \alpha_{j-1} w_{j-1} - \delta_{j-1} w_{j-2} \rangle - \beta_j \langle v_{j-1}, w_{j-1} \rangle) = \\ &= \frac{1}{\delta_{j+1}} (\beta_j \langle v_j, w_j \rangle - \beta_j \langle v_{j-1}, w_{j-1} \rangle) = 0. \end{aligned}$$

felhasználva az indukciós feltételt, illetve hogy $\langle v_i, w_i \rangle = 1$ minden $i \leq j$ indexre. Hasonlóan belátható hogy $\langle w_{j+1}, v_i \rangle = 0$ minden $i \leq j$ indexre, ezzel az állítást beláttuk. \square

Jelölje $T_m \in \mathbb{R}^{m \times m}$ a következő tridiagonális mátrixot:

$$T_m = \begin{pmatrix} \alpha_1 & \beta_2 & & & \\ \delta_2 & \alpha_2 & \beta_3 & & \\ & \ddots & \ddots & \ddots & \\ & & & \delta_{m-1} & \alpha_{m-1} & \beta_m \\ & & & & \delta_m & \alpha_m \end{pmatrix}$$

A 3.4.1 algoritmus alapján felírhatók a következő összefüggések:

$$AV_m = V_m T_m + \delta_{m+1} v_{m+1} e_m^T \quad (3.7)$$

$$A^T W_m = W_m T_m^T + \beta_{m+1} w_{m+1} e_m^T \quad (3.8)$$

$$W_m^T AV_m = T_m$$

ahol V_m, W_m rendre azokat a mátrixokat jelölik, amelynek oszlopai a v_1, v_2, \dots, v_m , illetve a w_1, w_2, \dots, w_m vektorok, $(0, \dots, 0, 1) = e_m^T \in \mathbb{R}^m$.

Vegyük észre, hogy hasonló műveleteket végzünk az A illetve az A^T mátrixokkal, valójában két lineáris egyenletrendszert oldunk meg egyszerre, egyet az A , egyet az A^T mátrixszal. Így ha létezik egy $A^T x^* = b^*$ egyenletrendszer amit meg kell oldanunk, akkor ez a módszer megfelelő.

Válasszunk egy $x_0 \in \mathbb{R}^N$ kezdő közelítést. Legyen $r_0 = b - Ax_0$, és válasszuk $v_1 = r_0 / \|r_0\|$ -nak. Hasonlóan az előző módszereknél látottakhoz az x_m közelítő megoldást $x_m = x_0 + V_m y_m$ alakban keressük. Így:

$$\|b - Ax_m\| = \|r_0 - AV_m y_m\| = \|V_{m+1} \beta_1 e_1 - V_{m+1} \bar{T}_m y_m\| = \|\beta_1 e_1 - \bar{T}_m y_m\|$$

ahol $\beta_1 = \|r_0\|$, és

$$\bar{T}_m = \begin{pmatrix} T_m \\ \delta_{m+1} e_m^T \end{pmatrix}$$

Mivel \bar{T}_m teljes rangú (ha $\delta_{j+1} \neq 0$), így $y_m = T_m^{-1}(\beta_1 e_1)$. Tekintsük a T_m mátrix LU-felbontását, amely T_m speciális alakja miatt a következőképpen írható fel:

$$T_m = L_m U_m = \begin{pmatrix} 1 & & & & & \\ \lambda_2 & 1 & & & & \\ & \lambda_3 & 1 & & & \\ & & \ddots & \ddots & & \\ & & & \lambda_m & 1 & \end{pmatrix} \begin{pmatrix} \eta_1 & \beta_2 & & & & \\ & \eta_2 & \beta_3 & & & \\ & & \ddots & \ddots & & \\ & & & \eta_{m-1} & \beta_m & \\ & & & & \eta_m & \end{pmatrix}$$

Ekkor

$$x_m = x_0 + V_m y_m = x_0 + V_m T_m^{-1}(\beta_1 e_1) = x_0 + V_m U_m^{-1} L_m^{-1}(\beta_1 e_1) = x_0 + P_m L_m^{-1}(\beta_1 e_1)$$

ahol $P_m = V_m U_m^{-1}$, azaz $P_m U_m = V_m$. Tekintsük a szorzat utolsó oszlopát. U_m speciális alakja miatt:

$$u_{(m-1)m} p_{m-1} + u_{mm} p_m = \beta_m p_{m-1} + \eta_m p_m = v_m$$

így p_m az alábbi képlettel egyszerűen számítható a p_{m-1} illetve v_m vektorokból:

$$p_m = \frac{v_m - \beta_m p_{m-1}}{\eta_m}$$

Itt β_m -et a 3.4.1 algoritmus adja, λ_m -et és η_m -et pedig a Gauss-elimináció m -edik lépéséből kapjuk, azaz

$$\lambda_m = \frac{\beta_m}{\eta_{m-1}} \quad \eta_m = \alpha_m - \lambda_m \beta_m$$

Jelölje $z_m = L_m^{-1}(\beta_1 e_1)$, így az előbbihez hasonlóan $L_m z_m = \beta_1 e_1$, L_m speciális alakja miatt:

$$z_m = \begin{pmatrix} z_{m-1} \\ \zeta_m \end{pmatrix}$$

és $\zeta_m = -\lambda_m \zeta_{m-1}$. Ennek következményeképpen x_m -et minden iterációs lépésben lehet frissíteni:

$$x_m = x_{m-1} + \zeta_m p_m$$

Jelölje $r_j = b - Ax_j$ -t, $r_j^* = b^* - A^T x_j^*$ (a korábban említett duál egyenletrendszer).

3.4.4. Állítás. Minden r_j és r_j^* vektor felírható $r_j = \sigma_{j+1} v_{j+1}$ és $r_j^* = \theta_{j+1} w_{j+1}$ alakban, így az r_0, r_1, \dots, r_j és az $r_0^*, r_1^*, \dots, r_j^*$ vektorok biortogonális rendszert alkotnak.

Bizonyítás. Felírva r_j definícióját, illetve felhasználva a (3.7) egyenletet kapjuk:

$$r_j = b - Ax_j = b - AV_j y_j = b - V_j T_j y_j + \delta_{j+1} v_{j+1} e_j^T y_j = \sigma_{j+1} v_{j+1}$$

Hasonlóan, a (3.8)-as egyenletet felhasználva kapjuk az állítást r_j^* -ra. \square

Definiáljuk a $P_m^* = W_m (L_m^{-1})^T$ mátrixot. A p_m vektorokhoz hasonlóan belátható hogy p_m^* lineáris kombinációja w_m -nek és p_{m-1} -nek.

3.4.5. Állítás. Minden $i \neq j$ indexre $\langle Ap_j, p_i^* \rangle = 0$.

Bizonyítás. $(P_m^*)^T AP_m = L_m^{-1} W_m AV_m U_m^{-1} = L_m^{-1} T_m U_m^{-1} = I$ \square

Tudjuk hogy $x_{m+1} = x_m + \mu_m p_m$. Ebből következik hogy

$$r_{m+1} = b - Ax_{m+1} = b - Ax_m - \mu_m Ap_m = r_m - \mu_m Ap_m$$

hasonlóan

$$r_{m+1}^* = r_m^* - \mu_m Ap_m^*.$$

A 3.4.4 állítás következtében teljesülnie kell:

$$0 = \langle r_{m+1}, r_m^* \rangle = \langle r_m - \mu_m Ap_m, r_m^* \rangle$$

amiből kapjuk:

$$\mu_m = \frac{\langle r_m, r_m^* \rangle}{\langle Ap_m, r_m^* \rangle}$$

Tudjuk továbbá hogy p_{m+1}^* lineáris kombinációja r_{m+1}^* -nak és p_m^* -nak (mivel r_{m+1}^* egy irányba esik w_{m+1} -el). A p_m^* vektorokat megfelelő skalárral osztva kapjuk hogy:

$$p_{m+1}^* = r_{m+1}^* + \theta_m p_m^*$$

Ebből, felhasználva a 3.4.5 állítást:

$$\langle Ap_m, r_m^* \rangle = \langle Ap_m, p_m^* - \theta_m p_{m-1}^* \rangle = \langle Ap_m, p_m^* \rangle$$

Szintén a 3.4.5 állításból:

$$0 = \langle p_{m+1}^*, Ap_m \rangle = \langle r_{m+1}^* + \theta_m p_m^*, Ap_m \rangle$$

és ebből felhasználva hogy $Ap_m = -\frac{1}{\mu_m}(r_{m+1} - r_m)$:

$$\theta_m = -\frac{\langle r_{m+1}^*, Ap_m \rangle}{\langle p_m^*, Ap_m \rangle} = \frac{1}{\mu_m} \frac{\langle r_{m+1}^*, r_{m+1} - r_m \rangle}{\langle p_m^*, Ap_m \rangle} = \frac{\langle r_{m+1}^*, r_{m+1} \rangle}{\langle r_m^*, r_m \rangle}$$

Ezek alapján felírható az algoritmus:

3.4.6. Algoritmus. BiCG

1. Számítsuk ki $r_0 = b - Ax_0$, és válasszunk egy r_0^* vektort, melyre $\langle r_0, r_0^* \rangle \neq 0$.
2. $p_0 := r_0$, illetve $p_0^* := r_0^*$.
3. For $j = 1, 2, \dots$ Do:
4. $\mu_j = \langle r_j, r_j^* \rangle / \langle Ap_j, p_j^* \rangle$
5. $x_{j+1} = x_j + \mu_j p_j$
6. $r_{j+1} = r_j - \mu_j Ap_j$
7. $r_{j+1}^* = r_j^* - \mu_j A^T p_j^*$
8. $\theta_j = \langle r_{j+1}^*, r_{j+1} \rangle / \langle r_j, r_j^* \rangle$
9. $p_{j+1} = r_{j+1} + \theta_j p_j$
10. $p_{j+1}^* = r_{j+1}^* + \theta_j p_j^*$
11. EndDo

Ha meg kell oldanunk a duál feladatot is, akkor válasszuk $r_0^* = b^* - A^T x_0^*$, és az algoritmus 5. sora után szűrjük be: $x_{j+1}^* = x_j^* + \mu_j p_j^*$. Ugyanakkor ha nem oldunk meg duál feladatot, az iteráció minden lépésében elvégezzünk egy szorzást A -val és A^T -tal is, de a p_j^* vektor, melynek kiszámításához az A^T mátrixot használtuk, nem járul hozzá közvetlenül a megoldás kiszámításához, csak a μ_j, θ_j konstansok megadásához. Felmerül a kérdés hogy el tudjuk-e kerülni az A^T mátrix használatát.

3.4.7. Megjegyzés. Léteznek olyan gyakorlati problémák, melyeknél az A mátrix csak egy közelítését ismerjük, nem tudjuk (vagy nem szükséges) explicit megadni. Ekkor általában az A^T mátrix nem áll rendelkezésre. Egy egyszerű példa amikor a Newton-iteráció felhasználásával akarjuk megoldani az $F(u) = 0$ egyenletet. Az iteráció minden lépésében egy lineáris egyenletrendszert kell megoldanunk, ezt meg tudjuk oldani a Jacobi-mátrix explicit kiszámítása nélkül, felhasználva hogy:

$$J(u_k)v = \frac{F(u_k + \epsilon v) - F(u_k)}{\epsilon}$$

Ez lehetővé teszi hogy egy tetszőleges v vektorra kiszámítsuk az értéket. Ugyanakkor nem létezik hasonló formula $J(u_k)^T$ -hoz.

3.5. BiCGStab

Vegyük észre hogy a BiCG módszerben a maradékvektor felírható:

$$r_j = \phi_j(A)r_0$$

alakban, ahol $\phi_j(t)$ egy j -edfokú polinom, amelyre $\phi_j(0) = 1$. Hasonlóan felírhatjuk:

$$p_j = \pi_j(A)r_0$$

A 3.4.6 algoritmusban r_j^* -ot és p_j^* hasonló képzési szabállyal állítjuk elő, mint r_j -t illetve p_j -t, az A mátrix helyett A^T -ot használva. Így:

$$r_j^* = \phi_j(A^T)r_0^* \quad p_j^* = \pi_j(A^T)r_0^*$$

Az előbbi felírás helyett a BiCGStab módszer a maradékvektort a következő alakban állítja elő:

$$r'_j = \psi_j(A)\phi_j(A)r_0$$

ahol $\psi_j(A)$ arra szolgál hogy stabilizálja az eredeti algoritmus konvergenciáját. $\psi_j(t)$ -t a következő rekurzív képlettel kapjuk meg:

$$\psi_j(t) = (1 - \omega_j t)\psi_{j-1}(t) \tag{3.9}$$

ahol az ω_j paramétert kell meghatároznunk. A 3.4.6 algoritmusból leolvashatjuk:

$$\phi_{j+1}(t) = \phi_j(t) - \mu_j t \pi_j(t) \tag{3.10}$$

$$\pi_{j+1}(t) = \phi_{j+1}(t) + \theta_j \pi_j(t) \tag{3.11}$$

A fenti egyenletekből egyszerűen kapjuk:

$$\begin{aligned} \psi_{j+1}(t)\phi_{j+1}(t) &= (1 - \omega_j t)\psi_j(t)(\phi_j(t) - \mu_j t \pi_j(t)) = \\ &= (1 - \omega_j t)(\psi_j(t)\phi_j(t) - \mu_j t \psi_j(t)\pi_j(t)) \\ \psi_j(t)\pi_j(t) &= \psi_j(t)(\phi_j(t) + \theta_{j-1}\pi_{j-1}(t)) = \\ &= \psi_j(t)\phi_j(t) + \theta_{j-1}(1 - \omega_{j-1}t)\psi_{j-1}(t)\pi_{j-1}(t) \end{aligned}$$

Jelölje mostantól:

$$r_j = \psi_j(A)\phi_j(A)r_0$$

$$p_j = \psi_j(A)\pi_j(A)r_0$$

Felhasználva az előző képleteket kapjuk a rekurziókat:

$$r_{j+1} = (I - \omega_j A)(r_j - \mu_j A p_j)$$

$$p_{j+1} = r_{j+1} + \theta_j (I - \omega_j A) p_j$$

Tekintsük most a θ_j konstanst. A BiCG algoritmust tekintve $\theta_j = \rho_{j+1}/\rho_j$, ahol

$$\rho_j = \langle \phi_j(A)r_0, \phi_j(A^T)r_0^* \rangle = \langle \phi_j(A)^2 r_0, r_0^* \rangle$$

Azonban nem ismerjük a $\phi_j(A)r_0$, $\phi_j(A^T)r_0^*$ és $\phi_j(A)^2 r_0$ vektorokat, így ezekből nem tudjuk kiszámítani. Tekintsük

$$\bar{\rho}_j = \langle \phi_j(A)r_0, \psi_j(A^T)r_0^* \rangle = \langle \psi_j(A)\phi_j(A)r_0, r_0^* \rangle = \langle r_j, r_0^* \rangle$$

Másrészt $\psi_j(A^T)$ felírható a következő alakban:

$$\psi_j(A^T) = \eta_1^{(j)}(A^T)^j + \eta_2^{(j)}(A^T)^{j-1} + \dots + \eta_{j+1}^{(j)}$$

Felhasználva hogy $\phi_j(A)r_0$ ortogonális $(A^T)^k r_0^*$ -ra minden $k < j$ indexre, kapjuk:

$$\begin{aligned} \bar{\rho}_j &= \langle \phi_j(A)r_0, \psi_j(A^T)r_0^* \rangle = \\ &= \langle \phi_j(A)r_0, \eta_1^{(j)}(A^T)^j r_0^* + \eta_2^{(j)}(A^T)^{j-1} r_0^* + \dots + \eta_{j+1}^{(j)} r_0^* \rangle = \\ &= \langle \phi_j(A)r_0, \eta_1^{(j)}(A^T)^j r_0^* \rangle = \langle \phi_j(A)r_0, \frac{\eta_1^{(j)}}{\gamma_1^{(j)}} \phi_j(A^T)r_0^* \rangle = \\ &= \frac{\eta_1^{(j)}}{\gamma_1^{(j)}} \rho_j \end{aligned}$$

ahol $\gamma_1^{(j)}$ a $\phi_j(t)$ polinom főegyütthatója. A 3.10 és 3.11 egyenletekből leolvasható hogy ϕ_j és π_j főegyütthatója megegyezik, továbbá felhasználva a 3.9 egyenletet kapjuk a következő összefüggést a főegyütthatókra:

$$\eta_1^{(j+1)} = -\omega_j \eta_1^{(j)} \quad \gamma_1^{(j+1)} = -\mu_j \gamma_1^{(j)}$$

Egyszerűen kapjuk az összefüggést:

$$\frac{\bar{\rho}_{j+1}}{\bar{\rho}_j} = \frac{\omega_j \rho_{j+1}}{\mu_j \rho_j}$$

amit felhasználva

$$\theta_j = \frac{\mu_j \bar{\rho}_{j+1}}{\omega_j \bar{\rho}_j}$$

Az előbbihez hasonló eljárással felírjuk a μ_j konstanst, felhasználva hogy ϕ_j és π_j főegyütthatója megegyezik:

$$\begin{aligned} \mu_j &= \frac{\langle \phi_j(A)r_0, \phi_j(A^T)r_0^* \rangle}{\langle A\pi_j(A)r_0, \pi_j(A^T)r_0^* \rangle} = \frac{\langle \phi_j(A)r_0, \phi_j(A^T)r_0^* \rangle}{\langle A\pi_j(A)r_0, \phi_j(A^T)r_0^* \rangle} = \\ &= \frac{\langle \phi_j(A)r_0, \psi_j(A^T)r_0^* \rangle}{\langle A\pi_j(A)r_0, \psi_j(A^T)r_0^* \rangle} = \frac{\langle \psi_j(A)\phi_j(A)r_0, r_0^* \rangle}{\langle A\psi_j(A)\pi_j(A)r_0, r_0^* \rangle} = \frac{\bar{\rho}_j}{\langle A\pi_j, r_0^* \rangle} \end{aligned}$$

Következő lépésként meghatározzuk az ω_j paramétert. Válasszuk meg ω_j -t úgy, hogy minimális legyen $\|(I - \omega_j A)\psi_j(A)\phi_j(A)r_0\|$. Jelöljük $s_j = r_j - \mu_j Ap_j$, így $r_{j+1} = (I - \omega_j A)s_j$. A paraméter optimális értéke:

$$\omega_j = \frac{\langle As_j, s_j \rangle}{\langle As_j, As_j \rangle}.$$

Végül

$$r_{j+1} = s_j - \omega_j As_j = r_j - \mu_j Ap_j - \omega_j As_j$$

amiből kapjuk:

$$x_{j+1} = x_j + \mu_j p_j + \omega_j s_j.$$

Ezek alapján felírhatjuk a következő algoritmust:

3.5.1. Algoritmus. *BiCGStab*

1. Számítsuk ki $r_0 = b - Ax_0$, r_0^* legyen tetszőleges.
2. $p_0 := r_0$
3. For $j = 0, 1, \dots$ Do:
 4. $\mu_j = \langle r_j, r_0^* \rangle / \langle Ap_j, r_0^* \rangle$
 5. $s_j = r_j - \mu_j Ap_j$
 6. $\omega_j = \langle As_j, s_j \rangle / \langle As_j, As_j \rangle$
 7. $x_{j+1} = x_j + \mu_j p_j + \omega_j s_j$
 8. $r_{j+1} = s_j - \omega_j As_j$
 9. $\theta_j = \mu_j \langle r_{j+1}, r_0^* \rangle / (\omega_j \langle r_j, r_0^* \rangle)$
 10. $p_{j+1} = r_{j+1} + \theta_j(p_j - \omega_j Ap_j)$
11. EndDo

4. fejezet

Összehasonlítás

4.1. Az alapmegoldások módszere

Tekintsük a következő problémát: Legyen $\Omega \subset \mathbb{R}^2$ tartomány. Keressük azt az $u : \Omega \rightarrow \mathbb{R}$ kétszer folytonosan differenciálható függvényt, amelyre

$$\Delta u(x, y) = 0 \quad \text{ha } x \in \Omega$$

és

$$u(x) = g(x) \quad \text{ha } x \in \partial\Omega$$

ahol Δ a Laplace-operátort jelöli, $\partial\Omega$ az Ω tartomány határát és $g : \partial\Omega \rightarrow \mathbb{R}$ függvény (így előírtuk, hogy az u függvény milyen értékeket vesz fel a tartomány határán, ezt nevezik Dirichlet-peremfeltételnek). Tekintsük a

$$\begin{aligned} \psi : \mathbb{R}^2 \setminus \{0\} &\rightarrow \mathbb{R} \\ \psi(x) &= \log\|x\| \end{aligned}$$

függvényt. Ekkor $\Delta \psi(x) = 0$ minden $x \in \mathbb{R}^2 \setminus \{0\}$ pontra. Vegyünk fel n darab pontot a tartomány határán, ezeket jelölje: $\bar{x}_1, \bar{x}_2, \dots, \bar{x}_n$ és újabb n darab, úgynevezett forrásponzt a tartományon kívül: x_1, x_2, \dots, x_n . Az alapmegoldások módszerében az u függvényt a következő alakban keressük:

$$u(x) = \sum_{j=1}^n \alpha_j \psi(x - x_j)$$

ahol az α_j együtthatók ismeretlenek. Ekkor a Laplace-operátor linearitása következtében $\Delta u(x) = 0$ minden $x \in \Omega$ esetén (a fenti függvény minden $x \in \Omega$ pont esetén értelmezett,

hiszen $x - x_j \neq 0$).

Az α_j együtthatók a peremfeltétel felhasználásával számíthatók:

$$u(\bar{x}_k) = \sum_{j=1}^n \alpha_j \psi(\bar{x}_k - x_j) \quad k = 1, \dots, n$$

Ekkor:

$$A_{ij} := \psi(\bar{x}_i - x_j) \quad b_i := u(\bar{x}_i)$$

A megoldandó egyenletrendszer:

$$A\alpha = b.$$

Ahogy távolabb választjuk a tartományon kívüli x_j pontokat, a kapott A mátrix kondíciószáma (gyorsan) nő, így a pontos megoldás kiszámítása egyre nagyobb problémát jelent. Ugyanakkor nincs szükségünk az α pontos értékére: az u függvény még úgy is pontos lehet hogy az α_j együtthatók hibája nem elhanyagolható.

Legyen $\Omega = [-1, 1] \times [-1, 1]$ négyzet, és tekintsük az

$$u(x, y) = 10x^2 - 10y^2 + 5xy + 4x - 2y$$

függvényt. Erre teljesül hogy $\Delta u = 0$ minden $x \in \Omega$ pontra. Vegyünk fel n darab pontot a négyzet határáról egyenletesen (a négyzet középpontjából indítunk félegyeneseket, a félegyenesek $2\pi/n$ szöget zárnak be egymással, a félegyenesek és a négyzet metszéspontjai legyenek a határpontok), majd számítjuk ki az $u(\bar{x}_j)$ értékeket. A forráspontokat vegyük az origó középpontú $r\sqrt{2}$ sugarú körről egyenletesen, ahol $r > 1$. Ezen probléma megoldására fogjuk alkalmazni a bemutatott 3 módszert (GMRES, LSQR, BiCGStab), különböző n illetve r értékek esetén. Mindhárom módszer toleranciaértéke 10^{-8} , maximum iterációs száma n . A módszereket a konvergenciához szükséges iterációs szám, az egyenletrendszer megoldásának hibája, és a keresett u függvény hibája (a tartomány belsejében egyenletesen felvett pontokban a pontos megoldás és az általunk adott u függvény eltérésének maximuma) alapján hasonlítjuk össze.

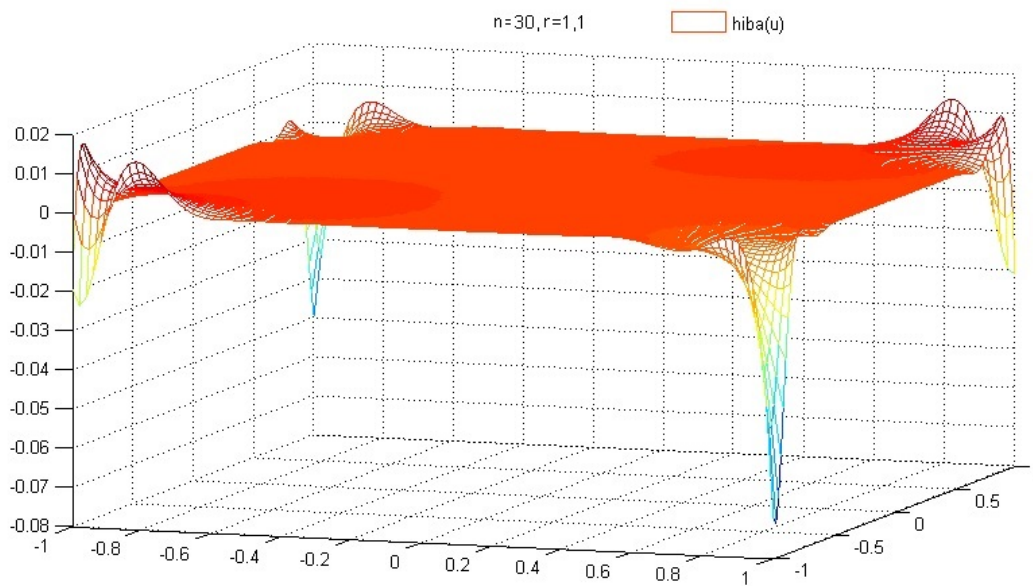
Az adatokat a 4.1 ábra tartalmazza. A mátrix kondíciószáma a forráspontok távolításával, illetve a határpontok számának növelésével nő. Megfigyelhető, hogy a GMRES módszer minden esetben elérte a megfelelő pontosságot, míg a BiCGStab a maximum iterációs szám elérése után állt le. A táblázatból leolvasható hogy több tesztetnél, annak ellenére hogy a GMRES módszer pontosabb megoldást adott az egyenletrendszerre, az u függvény hibája nagyságrendileg azonos (például $n = 10$, $r = 1, 1; 2; 4$ vagy $n = 100$, $r = 1, 1$).

A 4.2 ábrán látható hogy a legnagyobb eltérés a tartomány határán, a határpontok között van, a tartomány belsejében a megoldás pontosabb. Ahogy távolítjuk a forráspon-
tokat, a határpontok közötti hiba csökken.

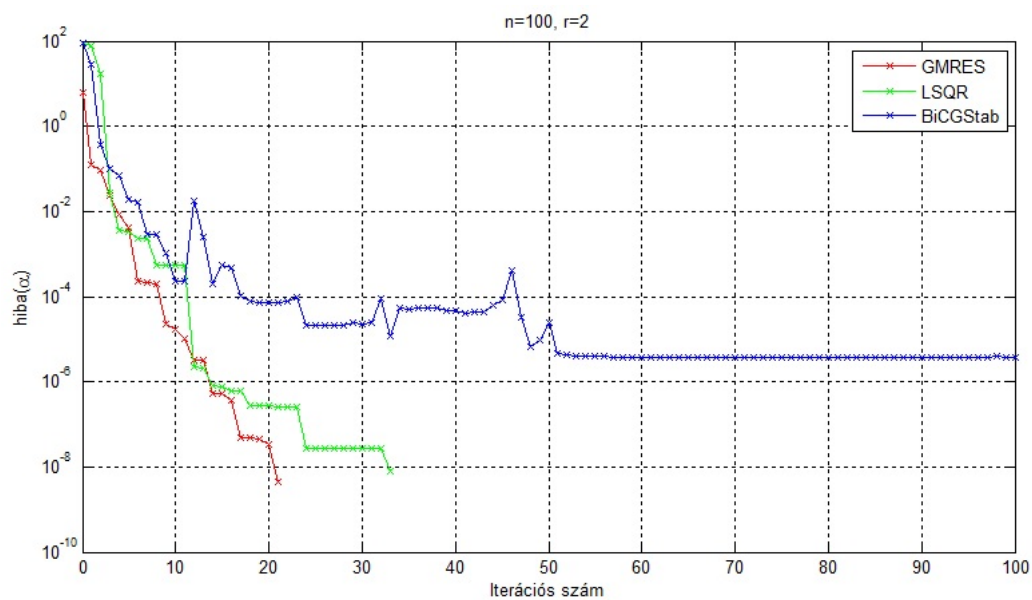
A 4.4 ábráról leolvasható, hogy ha növeljük a határpontok számát, nem kell nagy
távolságokra felvenni a forráspon-
tokat, hiszen $r \geq 2$ esetén az u függvény hibájának
változása kicsi (már $r = 2$ esetén is pontos).

	Pontok száma	Távolság	Kondíciószám	GMRES	LSQR	BicGStab
Iterációs szám	n=10	r=1,1	11,18	8	10	10
		r=2	529,32	8	10	10
		r=4	$2,82 \cdot 10^4$	8	10	10
		r=10	$4,21 \cdot 10^6$	8	10	10
	n=30	r=1,1	$2,06 \cdot 10^3$	25	30	30
		r=2	$3,18 \cdot 10^7$	24	30	30
		r=4	$1,73 \cdot 10^{12}$	18	30	30
		r=10	$6,88 \cdot 10^{17}$	12	21	30
	n=100	r=1,1	$2,82 \cdot 10^{10}$	36	100	100
		r=2	$3,79 \cdot 10^{18}$	21	33	100
		r=4	$8,7 \cdot 10^{19}$	15	24	100
		r=10	$2,38 \cdot 10^{19}$	10	7	100
Hiba(α)	n=10	r=1,1	11,18	$2,03 \cdot 10^{-14}$	$2,01 \cdot 10^{-6}$	$2,01 \cdot 10^{-7}$
		r=2	529,32	$2,46 \cdot 10^{-14}$	$4,7 \cdot 10^{-3}$	$8,95 \cdot 10^{-4}$
		r=4	$2,82 \cdot 10^4$	$2,11 \cdot 10^{-13}$	$2,7 \cdot 10^{-3}$	$4,14 \cdot 10^{-7}$
		r=10	$4,21 \cdot 10^6$	$5,7 \cdot 10^{-13}$	$1,11 \cdot 10^{-4}$	$2 \cdot 10^{-3}$
	n=30	r=1,1	$2,06 \cdot 10^3$	$2,22 \cdot 10^{-9}$	$6,68 \cdot 10^{-4}$	$1,79 \cdot 10^{-4}$
		r=2	$3,18 \cdot 10^7$	$4,17 \cdot 10^{-9}$	$2,82 \cdot 10^{-6}$	$3,45 \cdot 10^{-4}$
		r=4	$1,73 \cdot 10^{12}$	$3,31 \cdot 10^{-9}$	$1,05 \cdot 10^{-6}$	$5,33 \cdot 10^{-5}$
		r=10	$6,88 \cdot 10^{17}$	$9,79 \cdot 10^{-9}$	$4,72 \cdot 10^{-9}$	$1,07 \cdot 10^{-4}$
	n=100	r=1,1	$2,82 \cdot 10^{10}$	$9,68 \cdot 10^{-9}$	$1,36 \cdot 10^{-7}$	$4,47 \cdot 10^{-5}$
		r=2	$3,79 \cdot 10^{18}$	$4,39 \cdot 10^{-9}$	$7,98 \cdot 10^{-9}$	$3,72 \cdot 10^{-6}$
		r=4	$8,7 \cdot 10^{19}$	$3,46 \cdot 10^{-10}$	$2,33 \cdot 10^{-10}$	$8,64 \cdot 10^{-5}$
		r=10	$2,38 \cdot 10^{19}$	$4,78 \cdot 10^{-9}$	$8,8 \cdot 10^{-9}$	$4,91 \cdot 10^{-4}$
Hiba(u)	n=10	r=1,1	11,18	1,66	1,66	1,66
		r=2	529,32	$7,45 \cdot 10^{-2}$	$7,47 \cdot 10^{-2}$	$7,44 \cdot 10^{-2}$
		r=4	$2,82 \cdot 10^4$	$1,2 \cdot 10^{-3}$	$4,4 \cdot 10^{-3}$	$1,5 \cdot 10^{-3}$
		r=10	$4,21 \cdot 10^6$	$4,8 \cdot 10^{-6}$	$1,19 \cdot 10^{-4}$	$1,7 \cdot 10^{-3}$
	n=30	r=1,1	$2,06 \cdot 10^3$	$7,11 \cdot 10^{-2}$	$7,09 \cdot 10^{-2}$	$7,09 \cdot 10^{-2}$
		r=2	$3,18 \cdot 10^7$	$2,22 \cdot 10^{-8}$	$2,16 \cdot 10^{-6}$	$1,79 \cdot 10^{-4}$
		r=4	$1,73 \cdot 10^{12}$	$4,73 \cdot 10^{-9}$	$4,88 \cdot 10^{-7}$	$2,99 \cdot 10^{-5}$
		r=10	$6,88 \cdot 10^{17}$	$7,16 \cdot 10^{-9}$	$1,97 \cdot 10^{-9}$	$5,3 \cdot 10^{-5}$
	n=100	r=1,1	$2,82 \cdot 10^{10}$	$3,14 \cdot 10^{-5}$	$3,06 \cdot 10^{-5}$	$2,46 \cdot 10^{-5}$
		r=2	$3,79 \cdot 10^{18}$	$2,03 \cdot 10^{-9}$	$2,88 \cdot 10^{-9}$	$1,59 \cdot 10^{-6}$
		r=4	$8,7 \cdot 10^{19}$	$1,32 \cdot 10^{-10}$	$6,47 \cdot 10^{-11}$	$2,94 \cdot 10^{-5}$
		r=10	$2,38 \cdot 10^{19}$	$1,34 \cdot 10^{-9}$	$1,76 \cdot 10^{-9}$	$1,35 \cdot 10^{-4}$

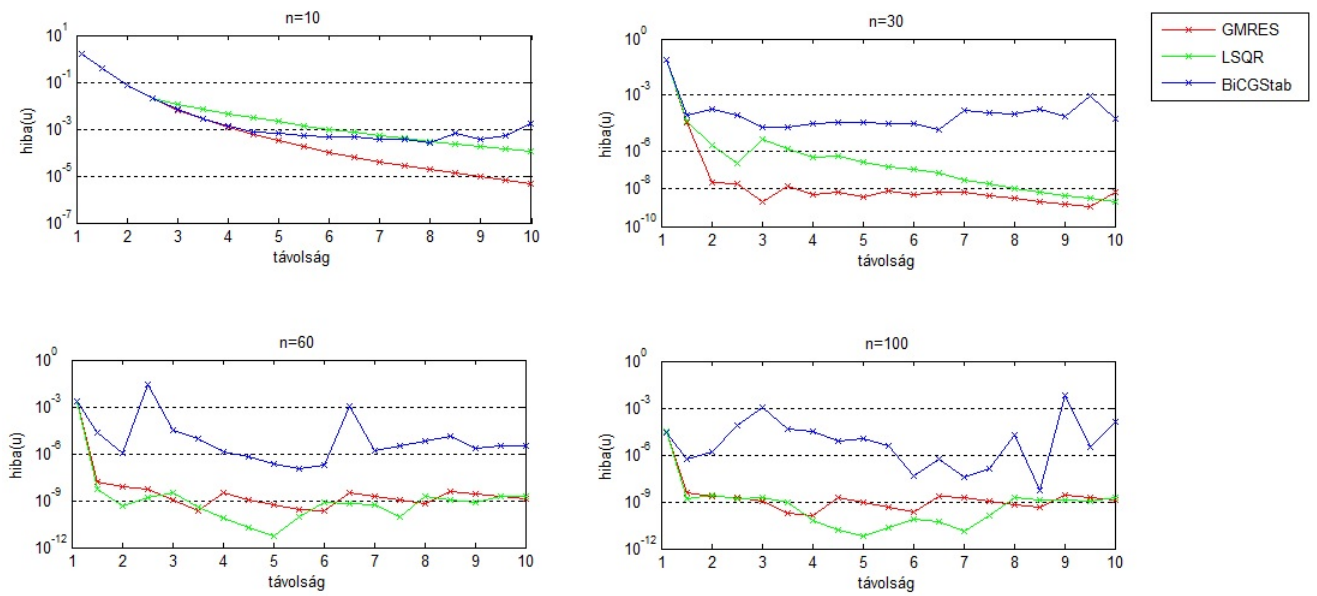
4.1. ábra. A táblázat a problémára alkalmazott GMRES, LSQR és BicGStab módszerek iterációs számát, az egyenletrendszer megoldásának hibáját illetve a keresett u függvény hibáját tartalmazza. r jelöli a forráspontok távolságát a tartomány szélétől, n a felvett határpontok számát.



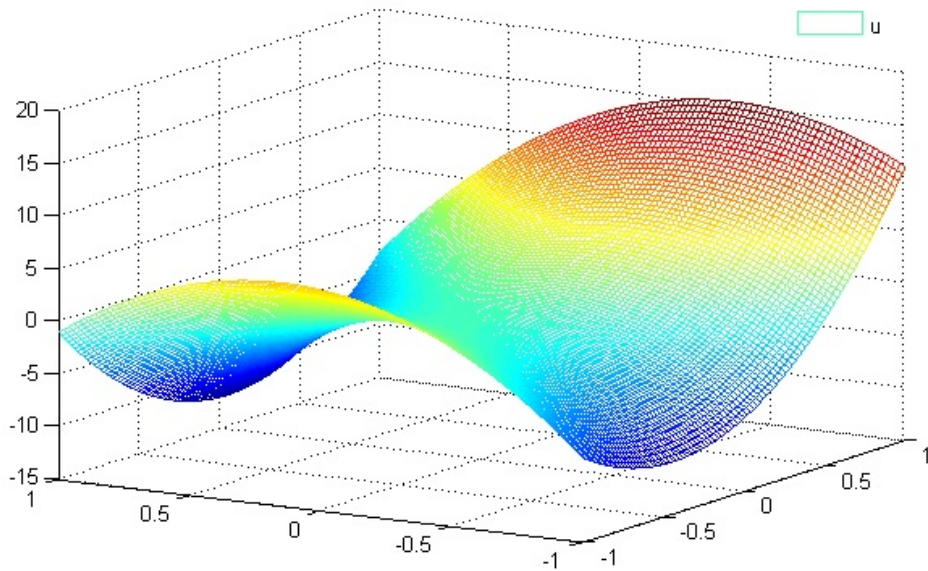
4.2. ábra. A GMRES módszer által adott u függvény hibája $n = 30$ és $r = 1.1$ esetén.



4.3. ábra. $n = 100$ és $r = 2$ esetén a módszerek konvergenciája.



4.4. ábra. A távolság függvényében a kapott u függvény hibája.



4.5. ábra. A kapott u függvény $n = 100, r = 4$ esetén.

5. fejezet

Összefoglalás

Az előző fejezetben összehasonlítottuk egy tesztfeladaton a bemutatott, Krylov-altérre épülő módszereket. Megfigyelhető, hogy minden paraméterpár esetén (kivéve $n = 100$, $r = 10$), a GMRES-módszer mutatott a leggyorsabb konvergenciát. Azonban ez általánosságban nem mondható el. Mindegyik módszerhez léteznek olyan mátrixok, melyekre az adott módszer konvergál a legkevesebb iterációs lépés alatt. Ezért a gyakorlatban egy problémára több módszert is szokás alkalmazni, hogy lássuk melyik módszer teljesít a legjobban. A tesztfeladatban használt mátrixok rosszul kondicionáltak, ugyanakkor a konstrukció következtében speciális alakjuk miatt a módszerek gyors konvergenciát mutattak. Egy általános rosszul kondicionált mátrixra a módszerek nem így viselkednek, a konvergencia lassabb, vagy egyáltalán nem következik be. A bemutatott módszereknek számos változata létezik és használt, ezekről bővebben a [2] könyvben olvashatunk (például a már említett Újraindított GMRES-módszer).

6. fejezet

A módszerek MATLAB-kódjai

```
function [x,hiba]=gmres(A,b)

n=size(A,1);
Q(:,1)=b/norm(b,2);
v=A*Q(:,1);
H(1,1)=Q(:,1)'*v;
v=v-H(1,1)*Q(:,1);
H(2,1)=norm(v,2);
Q(:,2)=v/H(2,1);
[T,R]=qr(H);
T=T';
g=T(1,1)*norm(b,2);
R=triu(R(1,1));
y = R\g;
f=1;
i=2;
x=0;
while norm(H*y-norm(b,2)*f)>10^-8 && i<=n;
    v=A*Q(:,i);
    for j=1:i
        H(j,i)=Q(:,j)'*v;
        v=v-H(j,i)*Q(:,j);
    end
end
```

```

H(i+1,i)=norm(v,2);
Q(:,i+1)=v/H(i+1,i);
if i==2
    [T,R]=qr(H);
    T=T';
elseif i>2
    c=[T(i,:) 0]*H(:,i);
    s=H(i+1,i);
    c=c/sqrt(c^2+s^2);
    s=sqrt(1-c^2);
    T(i:i+1,1:i+1)=[c,s;-s,c]*[T(i,:) 0;zeros(1,i) 1];
    R(1:i+1,i)=T*H(:,i);
end
if(i>1)
    g=T(:,1)*norm(b,2);
    opts.UT = true;
    y = linsolve(triu(R(1:i,1:i)),g(1:i),opts);
    x=Q(:,1:i)*y;
    f=zeros(i+1,1);
    f(1)=1;
    hiba(i-1)=norm(H*y-norm(b,2)*f);
end
i=i+1;
end

function [x,hiba1]=lsqr(A,b)

n=size(A,1);
x=zeros(n,1);
q=b;
beta=norm(q);
u=q/beta;
q=A'*u;
alpha=norm(q);

```

```

v=q/norm(q);
a=alpha;
d=beta;
w=v;
hi1=norm(b);
hiba1(1)=norm(A*x-b);
k=1;
while hi1>10^-8 && k<=n
    k=k+1;
    q=A*v-alpha*u;
    beta=norm(q);
    u=q/beta;
    q=A'*u-beta*v;
    alpha=norm(q);
    v=q/alpha;
    e=sqrt(a^2+beta^2);
    c=a/e;
    s=beta/e;
    f=s*alpha;
    a=c*alpha;
    g=c*d;
    d=-s*d;
    x=x+(g/e)*w;
    w=v-(f/e)*w;
    hi1=abs(d);
    hiba1=[hiba1;hi1];
end

function [x,hiba]=bicgstab(A,b)

n=size(A,1);
x=zeros(n,1);
r1=b-A*x;
r0=r1;

```

```

p=r1;
r2=r1;
hiba(1)=norm(r2);
k=1;
while norm(r2)>10^-8 && k<=n
    r1=r2;
    mu=dot(r1,r0)/dot(A*p,r0);
    s=r1-mu*A*p;
    om=dot(A*s,s)/dot(A*s,A*s);
    x=x+mu*p+om*s;
    r2=s-om*A*s;
    hiba=[hiba,norm(r2)];
    th=mu/om*dot(r2,r0)/dot(r1,r0);
    p=r2+th*(p-om*A*p);
    k=k+1;
end

```


Irodalomjegyzék

- [1] Stoyan Gisbert, Takó Galina, *Numerikus módszerek 1.*, Typotex, 2002
- [2] Yousef Saad, *Iterative Methods for Sparse Linear Systems*, Society for Industrial and Applied Mathematics, 2003
- [3] Christopher C. Paige, Michael A. Saunders, *LSQR: An Algorithm for Sparse Linear Equations and Sparse Least Squares*, ACM Transactions on Mathematical Software, Vol.8, No.1, 1982